

# การศึกษาปริมาณเหล็กที่จะถูกดูดซึมได้ในอาหารไทย และปัจจัยที่มีผลเกี่ยวกับข้อง

## STUDIES OF IONIZABLE IRON IN THAI FOODS AND ITS INFLUENCING FACTORS

นภนน ศรีตงกุล

Nopamon Sritongkul

มลุลี ตันตาวิรุฬห์

ฤทธิ์ ปลีหินดา

Malulee Tuntawiroon

Rudee Pleehachinda

ชัวรรณ พัฒนาขักร

นุชรี บุตระเกรณี

Chaweewan Pattanachak

Nucharee Putraserani

เบญจพร นาคสุขสกุล

ศิริพร จงจิราศิริ

Benjaporn Naksuksakul

Siriporn Chongchirasiri

คณะแพทยศาสตร์ศิริราชพยาบาล มหาวิทยาลัยมหิดล

Faculty of Medicine, Siriraj Hospital, Mahidol University

### บทคัดย่อ

การศึกษาวิเคราะห์หาปริมาณธาตุเหล็กที่จะถูกดูดซึมได้ในหลอดทดลอง พบว่า เป็นวิธีการที่ให้ความถูกต้องแม่นยำ ไม่ว่าจะเป็นการหาปริมาณภายในหรือระหว่างชุดของการวิเคราะห์ โดยมีค่าสัมประสิทธิ์ของความผันแปรต่ำกว่าร้อยละ 10 ซึ่งในทางสถิติก็ยอมรับว่าเป็นวิธีที่ใช้ได้ วิธีการคือทำสภาพให้คล้ายคลึงกับการย่อยในกระเพาะอาหารและลำไส้ แล้ววัดการแตกตัวของเหล็ก คิดเป็นร้อยละโดยเทียบกับปริมาณของเหล็กกัมมันตรังสีทั้งหมดที่เติมลงไป อาหารตัวอย่างที่บดให้ละเอียดแล้ว จะถูกย่อยด้วยเอนไซม์เปปซินในสภาพที่เป็นกรดด้วยกรดเกลือ  $pH = 1.35$  แล้วเติมเหล็กกัมมันตรังสี (เหล็ก-59) ลงไป เมื่อครบเวลาแล้ว ปรับสภาพใหม่  $pH = 7.5$  ด้วยอะโซเทอบฟเฟอร์ เพื่อทำให้มีสภาพคล้ายคลึงกับส่วนต้นของลำไส้เล็ก สำคัญเอาเหล็กส่วนที่สามารถจะถูกดูดซึมได้โดยใช้ นาโนฟิแนนโตรลีน แล้วนำไปวัดปริมาณกัมมันตภาพรังสี หารร้อยละของเหล็กที่สามารถจะถูกดูดซึมได้โดยใช้ เทียบกับเหล็กกัมมันตรังสีที่ใส่ลงไปในอาหารทั้งหมด อาหารที่ใช้ทดลองการดูดซึมเหล็กในอาสาสมัคร เมื่อนำมาหาปริมาณเหล็กที่จะถูกดูดซึมได้ในหลอดทดลอง ให้ผลที่มีความสัมพันธ์กันได้ดี ทั้งการเปรียบเทียบกันในรูปร้อยละและในรูปอัตราส่วน

ผลการหาปริมาณเหล็กที่จะถูกดูดซึมได้ในทดลอง พนว่า ปลาทูทอด น้ำส้มคั้นและเนื้อหมู ช่วยเพิ่มปริมาณการแตกตัวของเหล็ก แต่ถ้าเขียวลดปริมาณการแตกตัวของเหล็ก ซึ่งเหมือนกับผลการทดลอง การดูดซึมเหล็กในอาสาสมัคร ดังนั้น จึงอาจกล่าวได้ว่า วิธีการวิเคราะห์หาปริมาณเหล็กที่จะถูกดูดซึมได้ในทดลองนี้ สามารถใช้เพื่อการคาดคะเนปริมาณเหล็กที่อาจจะถูกดูดซึมจากอาหารได้

### ABSTRACT

*An in vitro method for estimating availability of nonheme iron from food items was investigated. The coefficient of variation of intra and inter assay was less than 10 per cent which is statistically acceptable. The method involves simulated gastrointestinal digestion followed by radioactivity measurement of per cent ionizable iron which was extrinsically tagged by  $^{59}\text{Fe}$ . Homogenized food sample was exposed to pepsin-HCl and extrinsically tagged with a radioisotope  $^{59}\text{Fe}$  at pH 1.35. After incubation, the pH was adjusted to 7.5 by using acetate buffer. Ionizable iron was determined by the bathophenanthroline method. The per cent ionizable iron was calculated to compare to total added extrinsically tagged  $^{59}\text{Fe}$ . Not only the per cent ionizable iron in a test meal but also its ratio compared to basal diet was shown to correlate highly with per cent and ratio iron absorption from the same diets observed in the adult males. Ionizable iron was shown to increase in presence of fish, orange juice and pork but to decrease in presence of mung bean. This observation was similar to the effect of these factors on iron absorption in human subjects. Thus this method has proved to be valuable as an in vitro method for predicting the availability of iron from food.*

### คำนำ

โรคโลหิตจางเนื่องจากขาดธาตุเหล็ก เป็นปัญหาทางโภชนาการที่สำคัญในประเทศไทยที่กำลังพัฒนา ทั่วโลก สำหรับประเทศไทย จากการตรวจค่ารีโนไซค์เริทของกลุ่มประชากรทั่วทุกภาค พนอุบัติการ โลหิตจาง ตั้งแต่ร้อยละ 11 ในจังหวัดสระบุรี จนถึงร้อยละ 89 ในจังหวัดอุบลราชธานี<sup>47</sup> การการขาด ธาตุเหล็กเป็นปัญหาที่พบบ่อยมากในเด็กและผู้หญิง<sup>11</sup> Sturgeon<sup>44</sup> รายงานว่า ถ้าเด็กเป็นโรคโลหิตจาง เนื่องจากการขาดเหล็ก จะทำให้ระบบอิมมูนบกพร่อง ความด้านทานโรคลดลง และทำให้อัตราการตายในเด็กสูงขึ้น หญิงมีครรภ์ที่เป็นโรคโลหิตจางจะทำให้อัตราการเสี่ยงต่อการคลอดก่อนกำหนด รวมทั้งอัตรา การตายของมารดาและทารกสูงขึ้น Viteri และ Torun<sup>46</sup> รายงานว่า ภาวะการขาดเหล็กในผู้ใหญ่ทำให้ ความสามารถในการทำงานลดลง เป็นการบั่นทอนเศรษฐกิจของประเทศไทย

สาเหตุที่ทำให้ร่างกายได้รับธาตุเหล็กไม่เพียงพอ อาจเกิดขึ้นได้เนื่องจากมีการสูญเสียโลหิตแบบเรื้อรัง และ/หรือ มีการคุณซึ่งเหล็กเข้าสู่ร่างกายไม่เพียงพอ การเสียเลือดแบบเรื้อรังนั้น อาจจะเป็นไปโดยไม่รู้ตัว เช่น มีพยาธิปากขอ ซึ่งพบมากในประเทศไทย<sup>45</sup> โดยเฉพาะในเด็กพบถึงร้อยละ 90<sup>1</sup> การเป็นแพลงในกระเพาะอาหาร โรคศีดวงทวาร หรือการเสียเลือดทางประจำเดือน เป็นต้น สำหรับการคุณซึ่งเหล็กเข้าสู่ร่างกายที่ไม่เพียงพอนั้น อาจเกิดจากในอาหารมีปริมาณเหล็กน้อยเกินไป หรือมีเหล็กอยู่ในปริมาณที่เพียงพอ แต่อยู่ในรูปที่ไม่เหมาะสมต่อการคุณซึ่ง หรือเนื่องมาจากส่วนประกอบของอาหาร ซึ่งอาจจะมีตัวบั้งบังการคุณซึ่งเหล็กผสมอยู่มาก หรือมีตัวเพิ่มการคุณซึ่งเหล็กผสมอยู่น้อย

สำหรับสาเหตุที่มีการคุณซึ่งเหล็กน้อยในกรณีที่มีปริมาณเหล็กในอาหารเพียงพอนั้น เป็นสิ่งที่การศึกษาและเก็บปัญหาซึ่งสามารถทำได้หลายทาง เช่น การให้เหล็กทดแทน (Supplementation) การเสริมธาตุเหล็กลงในอาหาร (Fortification) ซึ่งเป็นทางตรง และการแนะนำส่วนเสริมวิตามินบริโภคอาหารที่เพิ่มการคุณซึ่งเหล็ก (Food modification) ซึ่งเป็นทางอ้อม การแก้ปัญหาโดยวิธีทางอ้อมนี้ เป็นการใช้เหล็กที่มีอยู่แล้วในอาหารให้เป็นประโยชน์ โดยไม่ต้องเติมจากภายนอกซึ่งเป็นวิธีการที่สิ้นเปลืองกว่า การศึกษาหาปริมาณเหล็กที่จะถูกคุณซึ่งได้ รวมทั้งปัจจัยต่าง ๆ ที่มีผลไม่ว่าจะเป็นส่วนช่วยเพิ่มหรือลดปริมาณของเหล็กที่จะถูกคุณซึ่งได้ ย้อนมีประโยชน์ในการนำผลมาช่วยแก้ไขปัญหา และส่วนเสริมแนะนำการบริโภคให้เป็นไปในทางที่ถูกต้องขึ้น

งานวิจัยนี้ยังไม่เคยมีผู้ใดทำการก่อนในประเทศไทย สำหรับในต่างประเทศ มีผู้ทำการวิจัยมาแล้ว เช่น Jacobs<sup>26</sup> ได้คิดค้นวิธีการสักด้าเหล็กที่อยู่ในรูปซึ่งสามารถถอดล่ายได้ออกมาจากอาหารจำนวน 25 ชนิด และทำนายได้ส่วนที่คล้ายคลึงกับสภาพทางกายภาพของกระเพาะอาหาร พนว่า ส่วนใหญ่ของเหล็กที่สักด้าออกมากได้นั้น จะมีปริมาณน้อยกว่าครึ่งหนึ่งของจำนวนเหล็กทั้งหมดที่มีอยู่ในอาหาร ปริมาณของเหล็กที่จะถูกสักด้าออกมานี้ขึ้นอยู่กับวิธีการปรุงอาหาร และรวมทั้งการมีปัจจัยอื่น ๆ ร่วมอยู่ในอาหารนั้น ด้วย Jacobs กล่าวว่าปริมาณเหล็กทั้งหมดที่มีอยู่ในอาหารนี้ใช่ว่าจะเป็นส่วนที่ถูกคุณซึ่งได้ทั้งหมด

Hallberg<sup>22</sup> ได้คิดค้นวิธีการสำหรับวัดหารปริมาณของเหล็กที่จะถูกคุณซึ่งโดยวิธีภายนอกร่างกาย และใช้สารกัมมันตภารังสีเป็นตัวช่วยวัด ซึ่งทำการทดลองในภาวะเดียวกับสภาพทางกายภาพของกระเพาะอาหารในร่างกาย Hallberg ได้ทำการทดลองในอาหารหลายประเภท รวมทั้งอาหารที่มีเหล็กจากภายนอกประมาณด้วย พนว่า วิธีการแบบภายนอกร่างกายนี้ สามารถใช้หารปริมาณของเหล็กที่จะถูกคุณซึ่งเหล็กทั้งหมดที่มีอยู่ในอาหารได้เป็นอย่างดี

Miller<sup>30</sup> ได้ศึกษาวิธีการสำหรับวัดหารปริมาณของเหล็กที่จะถูกคุณซึ่งได้โดยวิธีภายนอกร่างกาย แต่อยู่ในสภาพที่คล้ายคลึงกับสภาพทางกายภาพของกระเพาะอาหาร และคำไส้ภายในร่างกายคนได้ทดลองถึงผลของปัจจัยที่จะมีส่วนกระตุ้น หรือบั้งบังการเปลี่ยนแปลงสภาพของเหล็กในอาหารให้อยู่ในรูปที่จะคุณซึ่งได้

Schricker<sup>41</sup> ได้ศึกษาเปรียบเทียบผลของการดูดซึมเหล็กจากอาหาร โดยใช้วิธีวัดการดูดซึมเหล็กในร่างกายของคน เปรียบเทียบกับการทำอาหารปริมาณของเหล็กที่จะดูดซึมโดยวิธีภายนอกร่างกาย ตามวิธีของ Miller พบว่า ให้ผลเปรียบเทียบที่มีความสัมพันธ์กันเป็นอย่างดี นอกจากนี้ยังทำการเปรียบเทียบผลการดูดซึมเหล็กในร่างกายคนกับในหมูทดลอง ซึ่งพบว่า ไม่มีความสัมพันธ์กันเลย

การดูดซึมเหล็กจากอาหาร และส่วนประกอบของอาหารนั้น เป็นการยากที่จะคาดการณ์ล่วงหน้าว่า จะได้รับเหล็กดี หรือ เลว มากน้อยเพียงใด ทั้งนี้ขึ้นอยู่กับชนิดของสารประกอบเหล็ก ปริมาณของเหล็กที่มีอยู่ รวมทั้งส่วนประกอบของอาหารที่แตกต่างกัน ทั้งปริมาณและคุณภาพของอาหารแต่ละงานที่รับประทานในแต่ละเมือง รวมทั้งขึ้นอยู่กับสมรรถภาพของการดูดซึมเหล็กของแต่ละบุคคลด้วย<sup>21,23,27</sup> ดังนั้น เพื่อให้มีแนวทางพอที่จะคาดการณ์ได้ว่า เหล็กในอาหารแต่ละงานที่รับประทานนั้น มีโอกาสที่จะถูกดูดซึมได้มากหรือน้อยเพียงใด จึงทำการทดลองโดยใช้วิธีทางเคมีและกัมมันตรังสีในหลอดทดลอง ซึ่งเป็นวิธีที่ง่าย รวดเร็ว และประยุกต์กว่าการทำการทำทดลองการดูดซึมจากอาหารในคน

## อุปกรณ์และวิธีการ

### การวิเคราะห์เหล็ก

**การทำปริมาณเหล็กทั้งหมด (Total iron):** ใช้วิธีของ Bjorn Rasmussen และคณะ<sup>3</sup> มีหลักการคือ อาหารจะถูกเผาที่อุณหภูมิ  $600^{\circ}\text{C}$ . และนำมาละลายในกรดเกลือ จากนั้นเหล็กจะรวมตัวเป็นสารประกอบเชิงช้อนกับนาโนฟีแนนไทรอลีน ซัลฟอนейท (Bathophenanthroline sulfonate) ให้สีชมพูซึ่งจะวัดความเข้มของการดูดแสงที่ความยาวคลื่น  $546 \text{ นาโนเมตร}$  และเปรียบเทียบความเข้มกับสารละลายเหล็กมาตรฐาน

**การทำปริมาณเหล็กที่จะถูกดูดซึมได้ (Ionizable Fe):** หลักการคือ บดอาหารให้ละเอียดแล้วนำไปย่อยด้วยเอนไซม์เปปตินในสภาพที่เป็นกรดด้วยกรดเกลือ แล้วเติมเหล็กกัมมันตรังสี (เหล็ก 59) เป็นแทรเซอร์ (tracer) สำหรับวัดปริมาณเหล็กที่จะถูกดูดซึมได้ลงไปหลังจากที่ตั้งไว้ใน Shaking water bath  $37^{\circ}\text{C}$ . ครบ 30 นาที แล้วนำมาเติมอะซิเตทบัฟเฟอร์ เพื่อทำให้สภาพคล้ายคลึงกับส่วนต้นของลำไส้เล็ก แล้วสกัดเอาเหล็กส่วนที่สามารถจะถูกดูดซึมได้โดยใช้นาโนฟีแนนไทรอลีน นำไปวัดปริมาณรังสีทางร้อยละของเหล็กที่สามารถจะถูกดูดซึมได้ เทียบกับเหล็กกัมมันตรังสีที่ใส่ลงไปในอาหารทั้งหมด วิธีที่ใช้นี้ดัดแปลงมาจากวิธีของ Rao และ Prabhavathi<sup>36</sup> โดยตัดขั้นตอนการกรอง เพราะหากอาหารทำให้เสียเวลา และเพิ่มการใช้เหล็กกัมมันตรังสี เป็นตัวแทรเซอร์

## การวิเคราะห์สารที่มีผลต่อการดูดซึมเหล็ก

**การวิเคราะห์ทำปฏิมาณไวตามินซี:** ใช้วิธีของ Shich and Sweet<sup>42</sup> หลักการคือ ไวตามินซีจะรีดิวัช์สารละลาย Copper (II)-2, 2'-biquinoline ได้สารละลายสีน้ำเงินของ Copper (I)-2, 2'-biquinoline complex ในบัฟเฟอร์ อะซิโตัน หาปฏิมาณได้โดยวัดความเข้มของการดูดแสงที่ความยาวคลื่น 540 นาโนเมตร หาปฏิมาณไวตามินซีในอาหารได้โดยนำอาหารที่บดละเอียดแล้ว 5 ก. มาเติมน้ำบัฟเฟอร์ของฟอสเฟต ปรดซิตริกที่เข้มข้น 0.01 มล./ลิตร pH 3.0 จำนวน 25 มล. บัฟเฟอร์นี้จะต้องผ่านกรองในไตรเจนก่อน ไวตามินซีในอาหารจะละลายอยู่ในบัฟเฟอร์ นำสารละลายจำนวน 1 มล. มาเติมสารละลาย Copper (II)-2, 2'-biquinoline จำนวน 20 มล. นำไปวัดความเข้มของการดูดแสงที่มีความยาวคลื่น 540 นาโนเมตร หาปฏิมาณไวตามินซีโดยเทียบกับสารละลายน้ำตราชานของ L-ascorbic acid

**การวิเคราะห์ทำปฏิมาณโปรตีน:** ใช้วิธี Micro-kjeldahl<sup>18</sup> หลักการคือย่อยสารอินทรีย์ในไตรเจนในโปรตีนให้อยู่ในรูปของสารอนินทรีย์ในไตรเจน โดยในไตรเจนจะถูกเปลี่ยนเป็นแอนโนเนียมที่ละลายในกรดกำมะถันได้เป็นแอนโนเนียมซัลไฟต์ แล้วจึงกลั่นโดยให้ทำปฏิกิริยา กับโซเดียมไฮดรอกไซด์ ที่มากเกินพอด้วยปั๊บคู่อย่างเรื่อยๆ ไม่เนยมออกมาอยู่ในกรดอิกริก แล้วหาปฏิมาณในไตรเจนทั้งหมดโดยวิธี滴定法 (Titration) ด้วยกรดเกลือที่ทราบความเข้มข้นที่แน่นอน

**การวิเคราะห์ทำปฏิมาณฟิยเตท (phytate):** ใช้วิธีของ Oberleas<sup>33</sup> หลักการคือ ตอกตะกอนฟิยเตทให้อยู่ในรูปของเพอริกฟิยเตท ด้วยสารละลายเพอริกคลอไรด์ เปลี่ยนตะกอนที่ได้ให้เป็นโซเดียมฟิยเตท หลังจากนั้นละลายตะกอนในกรดกำมะถันเข้มข้น แล้วนำไปใส่ไตรไลส์ตัวยารอดินประสีวเข้มข้น หรือกรดเพอร์คลอเริก 65% นำสารละลายที่ได้จากการไฮโดรไลส์ไปหาปฏิมาณฟิยเตท ซึ่งจะอยู่ในรูปของอินโนซิทอล ฟอสเฟต (Inositol phosphate) ตามวิธีการของ Lindberg และ Ernster<sup>28</sup>

## การศึกษาการดูดซึมเหล็กจากอาหาร

**การดูดซึมเหล็กจากอาหาร:** ใช้วิธีของ Cook<sup>12</sup> โดยแบ่งกลุ่มทดลองเป็น 2 กลุ่ม แล้วให้รับประทานอาหารตามที่กำหนด (ตารางที่ 1)

**การเจาะเลือด:** ก่อนเริ่มการทดลอง จะมีการเจาะเลือดเพื่อเป็นกุ่มควบคุม (control) เมื่อผู้ทดลองรับประทานอาหารตามกำหนดแล้ว จะมีการเจาะเลือดในวันที่ 14 ก่อนที่จะรับประทานมื้อคและเจาะเลือดอีกครั้งในวันที่ 28 เลือดที่เก็บนี้จะนำมาวิเคราะห์ทำปฏิมาณเหล็ก 55 และ เหล็ก 59 ในเม็ดเลือดแดง เพื่อหาค่าปฏิมาณของเหล็กที่ถูกดูดซึมเข้าสู่ร่างกาย

## การวิเคราะห์เลือดทานปริมาณเหล็กกัมมันตรังสี

ใช้วิธีของ Eakins และ Brown<sup>17</sup> นำตัวอย่างเลือด 10 มล. ไปสถาบันอินทรีย์ด้วยกรดกำมะถันและกรดคินประสิวเข้มข้น จนได้สารละลายสีเหลืองส้ม นำสารละลายที่ได้ไปออกซิไซด์ด้วยไฮโดรเจนเพอร์ออกไซด์ 30% จนได้สารละลายใส นำสารละลายนี้ไปตกตะกอนด้วยแอมโนเนียม-ไฮดรอกไซด์ จนได้ตะกอนเฟอริกไฮดรอกไซด์ ละลายตะกอนด้วยกรดฟอฟอริกเข้มข้น แล้วตกตะกอนเหล็กด้วยแอมโนเนียมคลอไรด์ในเอทิลแอลกอฮอล์ ได้ตะกอนสีขาวของเฟอริกฟอฟเฟต นำตะกอนไปตรวจปริมาณรังสีโดยใช้ Liquid scintillant (AquaSol) แล้วนำไปตรวจวัดปริมาณรังสีเหล็ก 55/เหล็ก 59 ด้วยเครื่องวัดรังสี

### ผล

#### 1. การศึกษาความถูกต้องของวิธีการที่ใช้ในการวิเคราะห์ทางเคมีและรังสี เพื่อหาปริมาณการแตกตัวของเหล็กที่จะถูกคุกคาม ได้ในทดสอบทดลอง (*in vitro*)

จากการทำ Quality control เพื่อหาความถูกต้องของวิธีการทั้ง Intra และ Inter assay ตามจำนวนครั้งที่เพียงพอ ได้ค่าสัมประสิทธิ์ความผันแปร (Coefficient of variation) ไม่เกินร้อยละ 10 (ตารางที่ 2 และ 3)

#### 2. การทดลองหาปริมาณของเหล็กที่จะถูกคุกคาม ได้ (*in vitro*) ในสารละลายของสาร-ประกอบเหล็ก ชนิดและปริมาณต่าง ๆ กัน

สารประกอบเหล็กที่ใช้ในการทดลองนี้ 4 ชนิด คือ  $\text{FeSO}_4$ , เหล็กเชิงช้อน ( $\text{FeSO}_4$ : SHMP: $\text{NaHSO}_4$  = 10:8:5),  $\text{FeCl}_3$  และ  $\text{FeNaEDTA}$  ปริมาณของเหล็กที่ใช้เริ่มตั้งแต่ 0.5 มคก.\* ถึง 20 มคก. พบร่วมกันว่า สารประกอบเหล็กในสภาพของสารละลายที่ให้ปริมาณของเหล็กที่จะถูกคุกคาม ได้คือ  $\text{FeSO}_4$  และเหล็กเชิงช้อนซึ่งเป็นเหล็กในรูปของ  $\text{Fe}^{+2}$  รองลงมาคือ  $\text{FeCl}_3$  และ  $\text{FeNaEDTA}$  ซึ่งเป็นเหล็กในรูป  $\text{Fe}^{+3}$  ในปริมาณที่สูงกว่า 600 มคก. ขึ้นไป  $\text{FeCl}_3$  จะให้เหล็กที่จะถูกคุกคาม ได้ต่ำกว่าในเหล็กเชิงช้อน  $\text{FeSO}_4$  และ  $\text{FeNaEDTA}$  ตามลำดับ (รูปที่ 1, ตารางที่ 4 และ 5)

\* มคก. = ไมโครกรัม

**3. การทดลองผลของไวตามินซีในการส่งเสริมปริมาณเหล็กที่จะถูกดูดซึมได้ ของสารประกอบ  
เหล็ก  $\text{FeSO}_4$  และ  $\text{FeNaEDTA}$  ในน้ำ**

พบว่าสารละลายนองเหล็กในรูป  $\text{FeSO}_4$  ในน้ำ ไม่มีการเปลี่ยนแปลงเกิดขึ้นเมื่อเติมไวตามินซี ลงไป ไม่ว่าจะเป็นปริมาณเท่าใดก็ตาม (รูปที่ 2, ตารางที่ 6 และ 7) สำหรับสารละลายนองเหล็ก ในรูป  $\text{FeNaEDTA}$  ในขนาด 60 และ 400 มกก. ในน้ำ เมื่อเติมไวตามินซีลงไปจะช่วยเพิ่มการ ดูดซึมของเหล็ก (รูปที่ 2 และ ตารางที่ 8)

**4. การทดลองผลของไไก่ในการขัดขวาง (inhibitor) ปริมาณเหล็กที่จะถูกดูดซึมได้ของ  
สารประกอบ  $\text{FeSO}_4$ ,  $\text{FeCl}_3$  และ  $\text{FeNaEDTA}$  ในน้ำ**

จากตารางที่ 9 จะเห็นได้ว่า เมื่อเติมไไก่ลงไปในน้ำที่มีสารประกอบเหล็ก  $\text{FeSO}_4$  และ  $\text{FeCl}_3$  ทำให้ปริมาณเหล็กที่จะถูกดูดซึม ลดลงจากเดิม ซึ่งให้ผลตรงกันข้ามกับการเติมไไก่ลงไป เพราะไไก่ทำให้ปริมาณเหล็กที่จะถูกดูดซึมเพิ่มขึ้น แต่ในกรณีของสารประกอบเหล็ก  $\text{FeNaEDTA}$  ในน้ำ ทั้งไไก่ขาวและไไก่แดงมีผลต่อการเปลี่ยนแปลงน้อยมาก

**5. การวิเคราะห์อาหารกลุ่มต่าง ๆ**

จากการวิเคราะห์อาหารปริมาณเหล็กที่จะถูกดูดซึมได้และปริมาณเหล็กทั้งหมดของอาหารกลุ่ม ต่าง ๆ เช่น พอกคราบไไก่เครต ผัก ผลไม้ โปรตีนพืชและโปรตีนสัตว์ รวมทั้งการวิเคราะห์ไวตามินซี และพื้นเดท ซึ่งเป็นปัจจัยที่อาจมีผลส่งเสริมและขัดขวางต่อการดูดซึมของเหล็ก พบว่าในกลุ่ม กระโน๊บไไก่เครต ทั้งขาวเจ้าและขาวเนียน มีปริมาณของเหล็กและการแตกตัวไม่สูงมาก พบมีปริมาณ พื้นเดทเล็กน้อย สำหรับกลุ่มพืช ผัก ไม่พบพื้นเดท แต่ในพริกขี้หนู พบมีปริมาณไวตามินซีสูง มาก และมีการแตกตัวของเหล็กมากกว่าพืชผักอื่น ๆ ในกลุ่มผลไม้ พบไวตามินซีสูงในมะละกอ ส้มเขียวหวาน และสับปะรด การแตกตัวของเหล็กสูงด้วย สำหรับกลุ่มโปรตีนพืช พบมีปริมาณ พื้นเดทสูงและปริมาณของเหล็กค่อนข้างสูงโดยเฉพาะในถั่วเหลือง แต่การแตกตัวของเหล็กมีปริมาณ ต่ำ สำหรับกลุ่มโปรตีนสัตว์ การแตกตัวของเหล็กสูงพอ ๆ กันทั้งใน เม็ดไไก่ รัว หมู ปลา และ ตับ ปริมาณของเหล็กทั้งหมด พบสูงมากในตับเมื่อเทียบกับเนื้อสัตว์ต่าง ๆ สำหรับไไก่ พบว่าไไก่ ให้ปริมาณเหล็กที่จะดูดซึมสูงกว่าไไก่แดง แต่ปริมาณเหล็กทั้งหมดต่ำกว่า

## 6. คุณภาพของอาหารที่ใช้ในการทดลอง

เพื่อศึกษาถึงปัจจัยต่าง ๆ เช่น ไવิตามินซี โปรตีนพิช และโปรตีนสัตว์ต่อการเพิ่ม หรือลด ความสามารถในการดูดซึมเหล็กในคน (*in vivo*) และต่อปริมาณการแตกตัวของเหล็กที่จะถูกดูดซึม ได้ในทดลองทดลอง (*in vitro*) จึงได้เตรียมอาหารขึ้น 5 ประเภท ตั้งแต่ 1-5 โดยมีปริมาณและส่วน ประกอบแสดงไว้ในตารางที่ 11 และ 12 ผลการวิเคราะห์อาหารทั้ง 5 ประเภทแสดงในตารางที่ 13

## 7. สถานภาพทางเหล็กของอาสาสมัคร

คัดเลือกอาสาสมัครเฉพาะบุคคลที่มีสุขภาพสมบูรณ์ และมีสถานภาพทางเหล็กปกติ ตารางที่ 14 แสดงผลการวิเคราะห์เลือดของอาสาสมัครชาย จำนวน 23 คน โดยแบ่งเป็น 2 กลุ่ม กลุ่มแรก 11 คน กลุ่มที่สอง 12 คน ทั้งหมดมีอายุเฉลี่ย 30 ปี ส่วนสูง 164.8 ชน. น้ำหนัก 57.4 กก. ปริมาณ เม็ดเลือดแดงอัตโนมัติ ร้อยละ 38.4 ปริมาณชีโมโกรบิน 13.8 ก.% ปริมาณของเลือดทั้งหมด 4439.5 มล. ปริมาณของโปรตีปอฟิอรินในเม็ดเลือดแดง (Red cell protoporphyrin) 65.35 มกก.%

## 8. การศึกษาผลของโปรตีนจากปลาและไવิตามินซีในน้ำส้มคั้นต่อการดูดซึมเหล็กในอาหาร พื้นฐาน

จากการทดลองในอาสาสมัครกลุ่มที่ 1 พบว่า โปรตีนจากปลาและไવิตามินซีในน้ำส้มคั้นให้ ร้อยละของการดูดซึมเหล็กที่สูงกว่าอาหารพื้นฐาน โดยมีค่าเฉลี่ยร้อยละของการดูดซึมเหล็กในอาหาร พื้นฐานเท่ากับ 12.89 ในอาหารที่มีโปรตีนจากปลาเท่ากับ 14.99 และในอาหารที่มีไવิตามินซีจาก น้ำส้มคั้นเท่ากับ 31.77 ดังแสดงในตารางที่ 15 และเมื่อปรับค่าการดูดซึมเหล็กของ Reference dose เป็นร้อยละ 40 จะได้ค่าการดูดซึมเหล็กในอาหารพื้นฐานเป็น 10.46 ในอาหารที่มีโปรตีนจาก ปลาเป็น 11.64 และอาหารที่มีไવิตามินซีจากน้ำส้มคั้นเป็น 23.85 (ตารางที่ 16)

## 9. การศึกษาผลของโปรตีนพิชจากถั่วเขียว และโปรตีนสัตว์จากเนื้อหมูต่อการดูดซึมเหล็ก ในอาหารพื้นฐาน

จากการทดลองในอาสาสมัครกลุ่มที่ 2 พบว่า โปรตีนพิชจากถั่วเขียวให้ร้อยละของการดูดซึม เหล็กที่ต่ำกว่าอาหารพื้นฐาน และโปรตีนสัตว์จากเนื้อหมูให้ร้อยละของการดูดซึมเหล็กที่สูงกว่าอาหาร พื้นฐาน โดยค่าเฉลี่ยร้อยละของการดูดซึมเหล็กในอาหารพื้นฐาน อาหารที่มีถั่วเขียว และอาหารที่มี เนื้อหมูเป็น 8.87, 5.24 และ 22.23 ตามลำดับ (ตารางที่ 17) สำหรับค่าการดูดซึมเหล็กในอาหาร ทั้ง 3 ประเภทในตารางที่ 18 นั้น เป็นค่าที่ปรับการดูดซึมเหล็กของ Reference dose เป็นร้อยละ

40 และให้ค่าเฉลี่ยร้อยละของการดูดซึมเหล็กในอาหารพื้นฐานเป็น 10.47 ในอาหารที่มีถั่วเขียวเป็น 5.93 และในอาหารที่มีเนื้อหมูเป็น 27.40

#### 10. การศึกษาหาปริมาณการแตกตัวของเหล็กที่จะถูกดูดซึมได้ในหลอดทดลอง

นำอาหารทั้ง 5 ประเภท ที่เตรียมขึ้นสำหรับทดลองในอาสาสมัครมาทำการทดลอง พนวจอาหารที่มีโปรตีนจากปลา ไวดามินซีจากน้ำส้มคั้น และโปรตีนจากเนื้อหมูให้ร้อยละของการแตกตัวของเหล็กสูงกว่าอาหารพื้นฐาน แต่อาหารที่มีโปรตีนพืช (ถั่วเขียว) ให้ร้อยละของการแตกตัวของเหล็กต่ำกว่าอาหารพื้นฐาน โดยมีค่าเฉลี่ยร้อยละของการแตกตัวของเหล็กในอาหารพื้นฐาน อาหารที่มีโปรตีนจากปลา อาหารที่มีไวดามินซีจากน้ำส้มคั้น อาหารที่มีโปรตีนจากถั่วเขียว และอาหารที่มีโปรตีนจากเนื้อหมูเป็น 24.49, 49.28, 88.65, 23.10 และ 74.53 ตามลำดับ (ตารางที่ 19)

#### 11. การเปรียบเทียบผลการทดลองการดูดซึมเหล็กจากอาหารในอาสาสมัคร และปริมาณการแตกตัวของเหล็กที่มีโอกาสจะถูกดูดซึมได้ในหลอดทดลอง

ผลการทดลองในอาสาสมัคร และในหลอดทดลอง ได้นำมาเปรียบเทียบกันทั้งในรูปของอัตราส่วนและร้อยละ พนวจ มีสหสัมพันธ์ (correlation) ที่ดี ตารางที่ 20 และรูปที่ 3 เป็นการเปรียบเทียบในรูปของอัตราส่วนระหว่างการดูดซึมเหล็กจากอาหารในอาสาสมัคร และปริมาณการแตกตัวของเหล็กที่มีโอกาสจะถูกดูดซึมได้ในหลอดทดลอง ได้ค่าความสัมพันธ์  $r = 0.9192$  สำหรับการเปรียบเทียบในรูปของร้อยละ ตารางที่ 21 และรูปที่ 4 ได้ค่าความสัมพันธ์  $r = 0.9197$

### วิจารณ์

วิธีการที่ใช้ในการหาปริมาณการแตกตัวของเหล็กที่จะถูกดูดซึมได้ในหลอดทดลอง ได้ให้ความถูกต้อง โดยมีค่าสัมประสิทธิ์ความผันแปรของ Intra และ Inter assay น้อยกว่า 10% วิธีการนี้ไม่ได้ใส่ Pancreatin แต่ใช้การเพิ่ม pH ด้วยอะซิเดทบัฟเฟอร์ ให้มีสภาพคล้ายคลึงกับส่วนต้นของลำไส้เล็ก โดยดำเนินตามวิธีการของ Rao และ Prabhavathi ซึ่งกล่าวว่า Pancreatin ไม่มีผลต่อการดูดซึมและการละลายของเหล็ก<sup>36</sup> และจากการศึกษาของ Bothwell พนวจ Pancreatin น้ำดีและน้ำย่อยภายในลำไส้เล็กไม่มีผลโดยตรงต่อการดูดซึมเหล็ก<sup>5</sup> ดังนั้น วิธีการนี้จึงเป็นที่ยอมรับและเป็นวิธีการที่ใช้ทดลองต่อไป

การศึกษาเพื่อคุณภาพของปริมาณ (dosage) และวาเลนซี (valency) ของเหล็กในการแตกตัว เพื่อหาปริมาณเหล็กที่จะถูกดูดซึมได้ในหลอดทดลองนั้น ได้ใช้สารประกอบเหล็ก 4 ชนิด คือ  $\text{FeSO}_4$ , เหล็กเชิงซ้อน ( $\text{FeSO}_4 : \text{SHMP} : \text{NaHSO}_4 = 10:8:5$ ),  $\text{FeCl}_3$  และ  $\text{FeNaEDTA}$  พนวจ ความสัมพันธ์

ระหว่างปริมาณเหล็กที่ใช้ทดลอง ตั้งแต่ 0.5 มก. ถึง 20 มก. กับปริมาณของเหล็กที่จะถูกดูดซึมได้ จะเพิ่มขึ้น เมื่อปริมาณเหล็กเพิ่มขึ้น แต่ร้อยละของเหล็กที่จะถูกดูดซึมได้จะลดลงเมื่อปริมาณเพิ่มขึ้น ผลที่ได้นี้เหมือนกับการทดลองของ Smith<sup>43</sup>, Bothwell<sup>6</sup> และ Bonnet<sup>4</sup>

โดยทั่ว ๆ ไป เหล็กที่มีว่าเลนซี 2 จะให้ปริมาณและร้อยละของการดูดซึมมากกว่าว่าเลนซี 3<sup>31,32</sup> ใน การทดลองนี้ พบว่า เหล็กที่มีว่าเลนซี 2 ซึ่งได้แก่ FeSO<sub>4</sub> และเหล็กเชิงช้อนในปริมาณที่ต่ำกว่า 600 มก. ให้ทั้งปริมาณและร้อยละของเหล็กที่จะถูกดูดซึมได้มากกว่าเหล็กที่มีว่าเลนซี 3 ซึ่งได้แก่ FeCl<sub>3</sub> และ FeNaEDTA แต่ในปริมาณที่สูงกว่า 600 มก. ผลนี้ได้เป็นไปตามหลักทั่วไป คือพบว่า สารประกอบเหล็กในรูปเหล็กเชิงช้อน และ FeCl<sub>3</sub> ให้ปริมาณและร้อยละของเหล็กที่จะถูกดูดซึมได้มากกว่า FeSO<sub>4</sub> ที่เป็นชนิดสามารถอธิบายได้ว่าปริมาณเหล็กที่จะถูกดูดซึมได้ของ FeSO<sub>4</sub> ไม่เพิ่มขึ้น เมื่อปริมาณเหล็กเพิ่มขึ้นเนื่องมาจากการที่จำกัดของความสามารถในการละลายของ FeSO<sub>4</sub> เมื่อเทียบกับ สารประกอบเหล็กในรูปอื่น ๆ ซึ่งจะละลายได้กว่า เช่น เหล็กเชิงช้อนมี SHMP และ NaHSO<sub>4</sub> เป็นตัวช่วย ป้องกันไม่ให้ FeSO<sub>4</sub> ตกตะกอน และ FeCl<sub>3</sub> ซึ่งมีความสามารถในการละลายสูงกว่า FeSO<sub>4</sub> วิธีนี้ก็ สามารถใช้หาปริมาณเหล็กที่จะถูกดูดซึมได้ในอาหาร เพราะปริมาณเหล็กในอาหารที่รับประทานแต่ละเม็ด ของคนไทย จะไม่เกิน 10 มก.<sup>34</sup> ซึ่งในส่วนของตัวอย่างอาหารที่นำมาวิเคราะห์ จะมีปริมาณเหล็กอยู่ไม่เกิน 100 มก. จึงเป็นช่วงที่ไม่มีปัญหาเกี่ยวกับการละลายของเหล็ก ไม่ว่าจะอยู่ในรูปใด ๆ สำหรับสาร- ประกอบเหล็กในรูป FeNaEDTA นั้น จำนวนร้อยละ และปริมาณของการดูดซึมน้อยกว่าเหล็กทุกชนิด ผลที่ได้เหมือนกับงานของ Brise<sup>7</sup> และ Cook<sup>14</sup>

ได้มีผู้ศึกษาเกี่ยวกับเรื่องของ ไવิตามินซี หลายคน และพบว่า ไวดามินซี เป็น powerful reductant ของเหล็ก มีส่วนช่วยเพิ่มการดูดซึมเหล็กพาก nonheme ในอาหาร<sup>25,37,38,39</sup>

Conrad<sup>10</sup> กล่าวว่า ไวดามินซี เป็นตัวคิลเลเตอร์ (Chelator) ช่วยทำให้เหล็กในรูป Ferric ละลาย ได้มากกว่า Ferrous สำหรับการทดลองผลของไวดามินซี ในการส่งเสริมปริมาณเหล็กที่จะถูกดูดซึมของ สารประกอบ FeSO<sub>4</sub> และ FeNaEDTA ในน้ำ ให้ผลเช่นเดียวกัน คือ ไวดามินซีช่วยเพิ่มปริมาณเหล็กที่ จะถูกดูดซึมของ FeNaEDTA ให้มากขึ้น โดยที่ไม่ได้ช่วยเพิ่มปริมาณเหล็กที่จะถูกดูดซึมของ FeSO<sub>4</sub> เลย

จากการทดลองผลของ ไบโอลิ่ว ใน การขัดขวางการแตกตัวของสารประกอบเหล็ก FeSO<sub>4</sub> และ FeCl<sub>3</sub> พบว่า ไบโอลิ่ว แห้งลดปริมาณเหล็กที่จะถูกดูดซึม ซึ่งได้ผลเหมือนกับการศึกษาของ Cook<sup>13</sup>, Callender<sup>8</sup> และ Monsen<sup>31</sup> ที่กล่าวว่า ไบโอลิ่ว มีฟอสฟอโปรตีน (phosphoprotein) ซึ่งเป็นตัวยับยั้ง (inhibitor) การดูดซึมเหล็ก nonheme ในอาหาร สำหรับไบโอลิ่ว พบร่วมช่วยเพิ่มปริมาณเหล็กที่จะถูกดูดซึม เมื่อเทียบกับผลการศึกษาทาง *in vitro* ของ Miller<sup>30</sup> และการศึกษาทาง *in vivo* ของ Peters<sup>35</sup>

สำหรับ FeNaEDTA นั้น ไม่พบความเปลี่ยนแปลงต่อการแตกตัวของเหล็กเลย ไม่ว่าจะเป็นไปข่าวหรือไข่แดง ทั้งนี้อาจเนื่องมาจาก EDTA เป็นตัวคีเลเตอร์ป้องกันเหล็กไม่ให้ถูกยับยั้งโดยฟอสโฟ-โปรดีนที่จัดเป็นตัวขัดขาวที่สำคัญในไข่แดง<sup>20</sup> และไม่สามารถถูกส่งเสริมได้ด้วยอัลบูมิน (albumin) ในไข่ขาว

จากการวิเคราะห์อาหารกลุ่มต่าง ๆ พบฟียเดทในกลุ่มครัวโนไครเดตทั้งข้าวเจ้าและข้าวเหนียว แต่ไม่พบรอยในผักและผลไม้ ทั้งนี้อาจจะเด็ดคลอดไปได้ เพราะวิธีการที่ใช้ทำปริมาณฟียเดทนี้ เป็นวิธีสำหรับการวิเคราะห์แบบ Macro ไม่สามารถตรวจพบได้ถ้ามีปริมาณน้อย ๆ นอกจากนี้ ปริมาณฟียเดทที่หาได้ยังไม่เฉพาะเจาะจง เพราะเป็นการตัดตะกอนด้วยเฟอริกคลอไรด์ ซึ่งมีคุณสมบัติในการตัดตะกอนพวกสาร-ประกอบฟอสฟอรัสทุกชนิด ในการวิจัยนี้ จำเป็นต้องใช้วิธีนี้ เพราะยังไม่มีวิธีใดเลยที่สามารถหาปริมาณฟียเดทที่เฉพาะเจาะจง และในปริมาณขนาดไม่ໂกรกร้มได้

อาหารประเภทผักและผลไม้ พบมีปริมาณไวตามินซีสูง เหมาะสำหรับใช้ในการช่วยเพิ่มการคุ้ดซึมเหล็กจากอาหาร อาหารประเภทโปรตีนพืช พบมีฟียเดทสูงซึ่งจัดอยู่ในกลุ่มของตัวขัดขาวการคุ้ดซึมเหล็กจากอาหาร จากผลการวิเคราะห์นี้ ควรนำมาศึกษาต่อห้องส่วนประกอบของอาหารแต่ละชนิด (individual item) และอาหารทั้งเม็ด (whole meal) เพื่อคุณของการเพิ่มหรือลดปริมาณของเหล็กที่จะถูกคุ้ดซึมได้ในหลอดทดลอง รวมทั้งความสามารถในการคุ้ดซึมเหล็กในคนด้วย เพื่อให้การทดลองมีความแปรปรวนระหว่างรายน้อยที่สุด จึงได้เติมจำนวนเหล็กเข้าไปเสริมจำนวนเหล็กที่มีอยู่ในอาหารให้เท่ากันคือ 3 มก. (ตารางที่ 12) สำหรับกลุ่มที่มีการปรุงรักษาโดยการหุงผัดของโปรตีนทั้งจากพืชและสัตว์ ได้จัดให้มีปริมาณโปรตีนไก่เคียงกันที่สุด นอกจากนี้ปริมาณแคลอรีของอาหารทั้ง 5 ประเภท ที่ใช้ทำการทดลองนี้ ก็มีปริมาณไม่แตกต่างกันมากนัก

ผลการทดลองการคุ้ดซึมเหล็กจากอาหารในอาสาสมัครชายปกติ พบว่าปลาช่วยเพิ่มการคุ้ดซึมเหล็ก<sup>15,29</sup> แต่ไม่สูงมาก ทั้งนี้ อาจเนื่องมาจากการเตรียมอาหาร เช่น การหยอด นึ่ง หรือต้มยำ เป็นต้น<sup>40</sup> ไวตามินซีในน้ำส้มคั้นช่วยเพิ่มการคุ้ดซึมเหล็กได้ผลเช่นเดียวกับงานของ Callender<sup>9</sup> สำหรับถั่วเขียวที่จัดเป็นโปรตีนพืช ลดการคุ้ดซึมเหล็กในอาหารเหมือนกับผลงานของ Hallberg<sup>24</sup> และ Cook<sup>16</sup> เนื้อหมูที่จัดเป็นโปรตีนสัตว์ ช่วยเพิ่มการคุ้ดซึมเหล็กในอาหาร ให้ผลเหมือนกับงานของ Bjorn-Rasmussen<sup>2</sup> และ Cook<sup>15</sup>

อาหารที่ใช้ทดลองการคุ้ดซึมเหล็กในอาสาสมัคร เมื่อนำมาหาปริมาณเหล็กที่จะถูกคุ้ดซึมได้ในหลอดทดลอง ให้ผลเช่นเดียวกันคือ ปลาทูหยอด ไวตามินซีในน้ำส้มคั้นและเนื้อหมู ช่วยเพิ่มปริมาณร้อยละของการแตกตัวของเหล็ก สำหรับถั่วเขียวจะลดปริมาณร้อยละของการแตกตัวของเหล็ก เมื่อเปรียบเทียบกับอาหารพื้นฐาน

การเปรียบเทียบผลการทดลองการดูดซึมเหล็กในอาสาสมัคร และปริมาณของเหล็กที่จะถูกดูดซึมได้ในหลอดทดลอง ให้ผลที่มีสหสัมพันธ์ที่ใช้ได้ แต่ยังจำเป็นจะต้องรวมข้อมูลเข่นี้ เพิ่มเติมให้เพียงพอต่อไป

## สรุป และข้อเสนอแนะ

วิธีวิเคราะห์หาปริมาณเหล็กที่จะถูกดูดซึมได้ในหลอดทดลอง ซึ่งเป็นวิธีที่ดีกว่าการหาปริมาณการดูดซึมเหล็กในคน เพราะถ้าทำการทดลองในคนจะยุ่งยาก สิ้นเปลืองและใช้เวลานานกว่า นอกจากนี้ยังมีความจำกัดในตัวอย่างอาหารที่ใช้ในการทดลอง เพราะไม่สามารถทำการศึกษาได้ละเอียด ตัวอย่าง

ข้อเสนอแนะคือ ควรจะเพิ่มเติมข้อมูลให้มากขึ้น เพื่อยืนยันวิธีการวิเคราะห์ในหลอดทดลอง ให้เป็นที่ยอมรับ และสามารถนำมาใช้เพื่อคาดการณ์ปริมาณของเหล็กที่จะถูกดูดซึมได้ ซึ่งอาจนำมาทดสอบ การทดลองการดูดซึมเหล็ก ประโยชน์ของผลงานวิจัยนี้ ก็เพื่อประยุกต์ใช้ในการคัดเลือกชนิดของอาหารที่มีปริมาณเหล็กที่จะถูกดูดซึมได้สูง และสามารถนำวิธีการนี้ใช้ศึกษาปัจจัยอื่น ๆ ที่จะมีผลกระทบทั้งในด้าน การยับยั้งและการส่งเสริมการดูดซึมเหล็ก เป็นการช่วยปรับปรุงภาวะโภชนาการของเหล็กในอาหารให้ดีขึ้น เพื่อแก้ปัญหารोคลิพทางจากการขาดธาตุเหล็ก และอาจจะใช้เป็นแนวทางเพื่อถ่ายทอดความรู้ในด้านการเสริมธาตุเหล็กให้กับกลุ่มประชากรเป้าหมาย และผู้เกี่ยวข้องอื่น ๆ ต่อไป

## คำขอบคุณ

งานวิจัยนี้ได้รับคำแนะนำและความช่วยเหลือทางวิชาการจาก ศาสตราจารย์ นายแพทย์ รัตน์ไทร สุวรรณิก และสำนักงานคณะกรรมการวิจัยแห่งชาติ ให้ทุนอุดหนุนการวิจัยครั้งนี้ ผู้วิจัยและคณะขอขอบคุณเป็นอย่างยิ่ง

## ເອກສາຣ໌ໄງວົງ

1. Areekul, S., Devakul, K., Smitananda, N., Boonyananta, C. and Klongkumnuangarn, K. Prevalence of Anaemia in Thai School Children. *J. Med. Assoc. Thailand*, 1972, **55**, 457.
2. Bjorn-Rasmussen, E. and Hallberg, L. Effect of Animal Proteins on the Absorption of Food Iron in Man. *Nutr. Metab.*, 1979, **23**, 192-202.
3. Bjorn-Rasmussen, E., Hallberg, L., Isaksson, B. and Arvidsson, B. Food Iron Absorption in Man. Application of the Two-pool Extrinsic Tag Method to Measure Heme and Nonheme Iron Absorption from the Whole Diet. *J. Clin. Invest.*, 1974, **53**, 274-355.
4. Bonnet, T.D., Hagedorn, A.B. and Owen, C.A. A Quantitative Method for Measuring the Gastrointestinal Absorption of Iron. *Blood*, 1960, **15**, 36-44.
5. Bothwell, T.H., Charlton, R.W., Cook, J.D. and Finch, C.A. Iron Metabolism in Man. Blackwell, Oxford, 1979.
6. Bothwell, T.H., Pirzio-Biroli, G. and Finch, C.A. Iron Absorption. I. Factors Influencing Absorption. *J. Lab. & Clin. Med.*, 1958, **51**, 24-36.
7. Brise, H. and Hallberg, L. Iron Absorption Studies. *Acta Med. Scand. Suppl.*, 1962, **171**(7), 376.
8. Callender, S.T., Marney, S.R. and Warner, G.T. Eggs and Iron Absorption. *Brit. J. Haemat.*, 1970, **19**, 657-665.
9. Callender, S.T. and Warner, G.T. Iron Absorption from Bread. *Am. J. Clin. Nutr.*, 1968, **21**, 1170-1174.
10. Conrad, M.E. and Schade, S.G. Ascorbic Acid Chelate in Iron Absorption. A Role for Hydrochloric Acid and Bile. *Gastroenterology*, 1968, **55**, 35.
11. Cook, J.D., Finch, C.A. and Smith, N. Evaluation of the Iron Status of a Population. *Blood*, 1976, **48**, 449-455.
12. Cook, J.D., Layrisse, M., Martinez-Torres, C. et al. Food Iron Absorption Measured by Extrinsic Tag. *J. Clin. Invest.*, 1972, **51**, 805-810.
13. Cook, J.D. and Monsen, E.R. Food Iron Absorption. I. Use of a Semisynthetic Diet to Study Absorption of Nonheme Iron. *Am. J. Clin. Nutr.*, 1974, **28**, 1289-1295.
14. Cook, J.D. and Monsen, E.R. Food Iron Absorption in Man. II. The Effect of EDTA on Absorption of Dietary Nonheme Iron. *Am. J. Clin. Nutr.*, 1976, **29**, 614-620.
15. Cook, J.D. and Monsen, E.R. Food Iron Absorption in Human Subjects. III. Comparison of the Effect of Animal Proteins on Nonheme Iron Absorption. *Am. J. Clin. Nutr.*, 1976, **29**, 859-867.
16. Cook, J.D., Morck, T.A. and Lynch, S.R. The Inhibitory Effect of Soy Products on Nonheme Iron Absorption in Man. *Am. J. Clin. Nutr.*, 1981, **34**, 2622-2629.
17. Eakins, J.D. and Brown, D.A. An Improved Method for the Simultaneous Determination of Iron-55 and Iron-59 in Blood by Liquid Scintillation Counting. *Intern. J. Appl. Radiation Isotopes*, 1966, **17**, 391-397.
18. Garvey, J.S., Cremer, N.E. and Sussdorf, D.H. Methods in Immunology. A Laboratory Text for Instruction and Research. 3<sup>rd</sup> ed., Massachusetts Advanced Book Program Reading Inc., Massachusetts, 1977.
19. Hahn, P.F., Jones, E., Lowe, R.C., Meneely, G.R. and Peacock, W. The Relative Absorption and Utilization of Ferrous and Ferric Iron in Anaemia as Determined with the Radioactive Isotope. *Am. J. Physiol.*, 1945, **143**, 191.
20. Halkett, J.A.E., Peters, T. and Ross, J.F. Studies on the Deposition and Nature of Egg Yolk Iron. *J. Biol. Chem.*, 1958, **231**, 187-199.
21. Hallberg, L. and Bjorn-Rasmussen, E. Determination of Iron Absorption from Whole Diet. *Scand. J. Haematol.*, 1972, **9**, 193.
22. Hallberg, L. and Bjorn-Rasmussen, E. Measurement of Iron Absorption from Meals Contaminated with Iron. *Am. J. Clin. Nutr.*, 1981, **34**, 2808-2815.
23. Hallberg, L., Garby, L., Suwanik, R. and Bjorn-Rasmussen, E. Iron Absorption from South-east Asian Diets. *Am. J. Clin. Nutr.*, 1974, **27**, 826.
24. Hallberg, L. and Rossander, L. Effect of Soy Protein on Nonheme Iron Absorption in Man. *Am. J. Clin. Nutr.*, 1982, **36**, 514-520.

25. Hallberg, L. and Rossander, L. Improvement of Iron Nutrition in Developing Countries: Comparison of Adding Meat, Soy Protein, Ascorbic Acid, Citric Acid and Ferrous Sulphate on Iron Absorption from a Simple Latin American-type of Meal. *Am. J. Clin. Nutr.*, 1984, **39**, 577-583.
26. Jacobs, A. and Greenman, D.A. Availability of Food Iron. *Brit. Med. J.*, 1969, **1**, 673-676.
27. Layrisse, M., Martinez-Torres, C. and Gonzalez, M. Measurement of the Total Daily Dietary Iron Absorption by the Extrinsic Tag Model. *Am. J. Clin. Nutr.*, 1974, **27**, 152.
28. Lindberg, O. and Ernster, L. Determination of Organic Phosphorus Compounds by Phosphate Analysis. *Methods Biochem. Anal.*, 1956, **3**.
29. Martinez-Torres, C. and Layrisse, M. Effect of Amino Acids on Iron Absorption from a Staple Vegetable Food. *Blood*, 1970, **33**, 669.
30. Miller, D.D., Schricker, B.R., Rasmussen, R.R. and Van Campen, D. An In Vitro Method for Estimation of Iron Availability from Meals. *Am. J. Clin. Nutr.*, 1981, **34**, 2248-2256.
31. Monsen, E.R. and Cook, J.D. Food Iron Absorption in Human Subjects: V. Effects of the Major Dietary Constituents of a Semisynthetic Meal. *Am. J. Clin. Nutr.*, 1979, **32**, 804-808.
32. Moore, C.V., Dubach, R., Minnich, V. and Roberts, H.K. Absorption of Ferrous and Ferric Radioactive Iron by Human Subjects and by Dogs. *J. Clin. Invest.*, 1944, **23**, 755.
33. Oberleas, D. The Determination of Phytate and Inositol Phosphate. *Methods Biochem. Anal.*, 1971, **20**.
34. Pattanachak, C., Pleechachinda, R., Pattanachak, S., Pattanapunyasut, K., Charoonpongksak, S., Tuntawiroon, M. and Suwanik, R. Iron Intake of Thais. *J. Med. Assoc. Thailand*, 1981, **64**(1), 49-50.
35. Peters, T., Apt, L. and Ross, J.F. Effect of Phosphates upon Iron Absorption Studied in Normal Human Subjects and in an Experimental Model Using Dialysis. *Gastroenterology*, 1971, **61**, 315-322.
36. Rao, B.S.N. and Prabhavathi, T. An In Vitro Method for Predicting the Bioavailability of Iron From Food. *Am. J. Clin. Nutr.*, 1978, **31**, 169-175.
37. Sayers, M.H., Lynch, S.R., Jacobs, P., Charlton, R.W., Bothwell, T.H., Walker, R.B. and Mayet, F. The Effects of Ascorbic Acid Supplementation on the Absorption of Iron in Maize, Wheat and Soya. *Brit. J. Haemat.*, 1973, **24**, 209-218.
38. Sayers, M.H., Lynch, S.R., Charlton, R.W., Bothwell, T.H., Walker, R.B. and Mayet, F. The Fortification of Common Salt with Ascorbic Acid and Iron. *Brit. J. Haemat.*, 1974, **28**, 483-495.
39. Sayers, M.H., Lynch, S.R., Charlton, R.W., Bothwell, T.H., Walker, R.B. and Mayet, F. Iron Absorption from Rice Meals Cooked with Fortified Salt Containing Ferrous Sulphate and Ascorbic Acid. *Brit. J. Nutr.*, 1974, **31**, 367-375.
40. Schricker, B.R. and Miller, D.D. Effect of Cooking and Chemical Treatment of Heme and Nonheme Iron in Meat. *J. Food Sci.*, 1983, **48**, 1340-1349.
41. Schricker, B.R., Miller, D.D., Rasmussen, R.R. and Van Campen, D. A Comparison of In Vivo and In Vitro Methods for Determinating Availability of Iron From Meals. *Am. J. Clin. Nutr.*, 1981, **34**, 2257-2263.
42. Shich, H.H. and Sweet, T.S. Spectrophotometric Determination of Ascorbic Acid. *Anal. Biochem.*, 1979, **96**, 1-5.
43. Smith, M.D. and Pannacciulli, I.M. Absorption of Inorganic Iron from Graded Dosed: Its Significance in Relation to Iron Absorption Tests and the "Mucosol Block" Theory. *Brit. J. Haemat.*, 1958, **4**, 428-434.
44. Sturgeon, P. Studies of Iron Requirements in Infants. III. Influence of Supplemental Iron During Normal Pregnancy on Mother and Infant. *Brit. J. Haemat.*, 1959, **5**, 45-55.
45. Vajrarasthira, S. and Harinasuta, C. Study in Helminthic Infections in Thailand. I. Incidence Distribution and Epidemiology of Seven Common Intestinal Helminths. *J. Med. Assoc. Thailand*, 1957, **40**, 309.
46. Viteri, F.E. and Torun, B. Anaemia and Physical Work Capacity. *Clin. Haematol.*, 1974, **3**(3).
47. Wasi, P. Prevalence of Anaemia in Thailand. *J. Med. Assoc. Thailand*, 1972, **55**(12), 685-688.
48. Weast, R.C., Melvin, J.A. and Bayer, W.H. Handbook of Chemistry and Physics. 65<sup>th</sup> ed., CRC Press, Inc., Boca Raton, Florida, 1984-1985.

ตารางที่ 1. การรับประทานอาหารของอาสาสมัคร

กลุ่มที่	วันที่	มื้อ	สารกัมมันตรังสี	อาหาร
1	1	ก	เหล็ก 55	อาหาร
	2	ข	เหล็ก 59	อาหาร + ปั๊จจัย 1
	14	ค	เหล็ก 55	อาหาร + ปั๊จจัย 2
	15	ร	เหล็ก 59	Reference dose
2	1	ก	เหล็ก 55	อาหาร
	2	ข	เหล็ก 59	อาหาร + ปั๊จจัย 3
	14	ค	เหล็ก 55	อาหาร + ปั๊จจัย 4
	15	ร	เหล็ก 59	Reference dose

ตารางที่ 2. การศึกษาความถูกต้องแม่นยำในการหาปริมาณเหล็กที่จะถูกดูดซึมได้ของเฟอร์รัสชัลเพต ระหว่างชุดของการวิเคราะห์

ตัวอย่าง	FeSO <sub>4</sub> ·7H <sub>2</sub> O (มกг. *)	จำนวน	$\bar{X} \pm SD$	% สัมประสิทธิ์ ความผันแปร
กลุ่มควบคุม A	0.5	8	49.83 ± 4.09	8.22
กลุ่มควบคุม B	10.0	8	74.76 ± 1.56	2.09
กลุ่มควบคุม C	60.0	8	85.42 ± 3.51	4.10

\* มกг. = ไมโครกรัม

ตารางที่ 3. การศึกษาความถูกต้องแม่นยำในการหาปริมาณเหล็กที่จะถูกดูดซึมได้ของเฟอร์รัสซัลเฟต ภายในชุดของการวิเคราะห์

ตัวอย่าง	$\text{FeSO}_4 \cdot 7\text{H}_2\text{O}$ (มก.)	จำนวน	$\bar{X} \pm SD$	% สัมประสิทธิ์ ความผันแปร
กลุ่มควบคุม A	0.5	8	48.69 $\pm$ 3.07	6.32
กลุ่มควบคุม B	10.0	6	74.29 $\pm$ 2.29	3.09
กลุ่มควบคุม C	60.0	7	88.76 $\pm$ 3.34	3.76

ตารางที่ 4. การหาปริมาณเหล็กที่จะถูกดูดซึมได้จากสารประกอบเหล็กชนิดต่างๆ และการเปรียบเทียบ ในรูปอัตราส่วนกับเฟอร์รัสซัลเฟต

เหล็ก (มก.)	ปริมาณเหล็กที่จะถูกดูดซึมได้ (มก.)				$\frac{\text{Fe cpx.}}{\text{FeSO}_4}$	$\frac{\text{FeCl}_3}{\text{FeSO}_4}$	$\frac{\text{FeNaEDTA}}{\text{FeSO}_4}$
	$\text{FeSO}_4$	Fe cpx.	$\text{FeCl}_3$	FeNaEDTA			
0.01	7.31	6.37	3.11	1.70	0.87	0.43	0.23
0.10	86.12	84.70	17.30	3.16	0.98	0.20	0.04
0.60	116.40	126.60	148.09	24.83	1.09	1.27	0.21
1.00	149.30	152.90	217.36	26.93	1.02	1.46	0.18
10.00	220.00	482.00	1331.68	87.48	2.19	6.05	0.40
20.00	206.90	810.00	1995.97	194.74	3.91	9.65	0.94

ตารางที่ 5. การหาเหล็กที่จะถูกดูดซึมได้ทั้งในรูปอ้อยละและปริมาณของสารประกอบเหล็กชนิดต่างๆ

เหล็ก	ปริมาณเหล็กที่จะถูกดูดซึมได้ (%)				ปริมาณเหล็กที่จะถูกดูดซึมได้ (มก.)			
	FeSO <sub>4</sub>	Fe cpx.	FeCl <sub>3</sub>	FeNaEDTA	FeSO <sub>4</sub>	Fe cpx.	FeCl <sub>3</sub>	FeNaEDTA
มคก.								
0.5	47.84	47.59	44.18	44.85	0.24	0.24	0.23	0.17
1.0	52.11	55.80	37.96	42.56	0.52	0.55	0.39	0.32
2.0	62.98	54.13	32.44	44.99	1.27	1.08	0.67	0.68
4.0	69.53	50.07	27.89	32.44	2.79	2.00	1.50	0.99
10.0	72.76	63.70	22.44	22.36	7.31	6.37	3.11	1.70
20.0	81.39	70.37	20.23	14.48	16.35	14.07	4.18	2.20
40.0	86.56	87.22	11.75	11.16	34.78	34.89	4.38	3.40
60.0	90.42	88.92	12.15	8.86	54.50	53.35	7.53	4.04
80.0	84.66	85.04	13.51	5.94	68.03	68.03	13.60	3.61
มก.								
0.1	85.73	84.70	16.75	4.16	86.12	84.70	17.30	3.16
0.2	38.42	43.43	22.44	7.89	77.20	86.86	46.36	12.00
0.4	26.85	23.52	24.39	5.54	107.90	94.08	100.78	16.86
0.6	19.32	21.10	23.89	5.44	116.40	126.60	148.09	24.83
1.0	14.86	15.29	21.04	3.54	149.30	152.90	217.36	26.93
2.0	6.93	11.68	20.04	2.61	139.20	233.60	414.07	39.71
4.0	3.92	8.58	14.83	2.54	157.50	343.20	612.83	77.29
6.0	2.19	5.48	14.43	1.56	132.00	328.80	894.47	71.20
8.0	3.22	4.79	12.30	1.54	258.80	383.20	1016.58	93.72
10.0	2.19	4.82	12.89	1.15	220.00	482.00	1331.68	87.48
20.0	1.03	4.05	9.66	1.28	206.90	810.00	1995.97	194.74

ตารางที่ 6. ผลของไวนามินซีต่อปริมาณของเหล็กที่จะถูกดูดซึมได้ในรูปของสารละลายน้ำฟอร์วัสดชัลเฟต ที่มีเหล็กอยู่ 0.5 mg.

เหล็ก : ไวนามินซี (โมล)	ไวนามินซี (mg.)	ปริมาณเหล็กที่จะถูกดูดซึมได้ (%)
0.5 : 0	0	16.93
0.5 : 0.5	1.58	17.80
0.5 : 1	3.15	16.62
0.5 : 2	6.31	17.71
0.5 : 4	12.61	18.66
0.5 : 8	25.23	20.78
0.5 : 16	50.46	18.82
0.5 : 32	100.91	16.73

ตารางที่ 7. ผลของไวนามินซีต่อปริมาณของเหล็กที่จะถูกดูดซึมได้ในรูปของสารละลายน้ำฟอร์วัสดชัลเฟต ที่มีเหล็กอยู่ 1 mg.

เหล็ก : ไวนามินซี (โมล)	ไวนามินซี (mg.)	ปริมาณเหล็กที่จะถูกดูดซึมได้ (%)
1 : 0	0	12.52
1 : 0.5	1.58	13.43
1 : 1	3.15	13.22
1 : 2	6.31	13.59
1 : 4	12.61	13.61
1 : 8	25.23	13.78
1 : 16	50.46	16.36
1 : 32	100.91	13.54

ตารางที่ 8. ผลของไวนามินซีต่อปริมาณของเหล็กที่จะถูกดูดซึมได้ในรูปของสารละลายน้ำ

ไวนามินซี (มก.)	ปริมาณเหล็กที่จะถูกดูดซึมได้ (%)	
	เหล็ก 60 มก.	เหล็ก 400 มก.
0	7.82	2.04
1	41.50	24.69
2	67.29	42.74
4	93.05	46.05

ตารางที่ 9. ผลของไข่ไก่ต่อปริมาณของเหล็กที่จะถูกดูดซึมได้ในสารละลายน้ำประกอบเหล็กชนิดต่าง ๆ ที่มีเหล็กอยู่ 0.5 มก.

ตัวอย่าง	ปริมาณเหล็กที่จะถูกดูดซึมได้ (%)
FeSO <sub>4</sub> · 7H <sub>2</sub> O	19.94
FeSO <sub>4</sub> · 7H <sub>2</sub> O + ไข่แดง 1 ก.	1.68
FeSO <sub>4</sub> · 7H <sub>2</sub> O + ไข่ขาว 1 ก.	21.19
FeSO <sub>4</sub> · 7H <sub>2</sub> O + ไข่ไก่ทั้งฟอง 1 ก.	1.33
FeCl <sub>3</sub> · 6H <sub>2</sub> O	28.93
FeCl <sub>3</sub> · 6H <sub>2</sub> O + ไข่แดง 1 ก.	0.0
FeCl <sub>3</sub> · 6H <sub>2</sub> O + ไข่ขาว 1 ก.	36.20
FeCl <sub>3</sub> · 6H <sub>2</sub> O + ไข่ไก่ทั้งฟอง 1 ก.	7.54
FeNaEDTA	7.78
FeNaEDTA + ไข่แดง 1 ก.	7.98
FeNaEDTA + ไข่ขาว 1 ก.	6.95
FeNaEDTA + ไข่ไก่ทั้งฟอง 1 ก.	6.67

ตารางที่ 10. การวิเคราะห์อาหารกัญมต่างๆ

ชนิดอาหาร	ปริมาณเหล็กที่ ทั้งหมด (มกก./ก.)	ปริมาณเหล็กที่ จะถูกดูดซึมได้ (%)	ปริมาณเหล็กที่ จะถูกดูดซึมได้ (มกก./ก.)	พิเศษ (มก./ก.)	ไนโตรเจน (มกก./ก.)
ประเภทแป้ง					
ข้าวเจ้า	4.56	2.12	0.0967	14.1	—
ข้าวเหนียว	11.88	6.00	0.7128	12.5	—
ประเภทผัก					
คะน้า	8.8	3.44	0.3027	—	185.2
ผักกาดขาว	5.88	5.25	0.3087	—	73.5
กะหล่ำปลี	6.94	13.10	0.9091	—	71.1
ถั่วฝักยาว	7.44	7.90	0.5878	—	107.8
พริกชี้ฟู	8.4	16.61	1.3952	—	339.8
ประเภทผลไม้					
กล้วยน้ำว้า	6.31	0.74	0.0467	—	45.0
มะละกอ	2.43	65.40	1.5892	—	375.0
ส้มเขียวหวาน	1.36	67.14	0.9131	—	160.0
สับปะรด	8.20	65.15	5.3423	—	135.0
ประเภทโปรตีนพืช					
ถั่วเหลือง	27.75	4.47	1.2404	241.7	—
เต้าหู้ขาว	14.88	2.03	0.3021	75.0	—
เต้าหู้ไข่ไก่	8.13	0.74	0.0602	84.4	—
ถั่วเขียว	17.31	5.53	0.9572	76.6	—
นมไนโตรเจน	2.94	14.48	0.4257	38.5	—
ประเภทโปรตีนสัตว์					
ไก่	4.39	67.12	2.9466	—	—
วัว	22.11	79.87	17.6593	—	—
หมู	14.82	71.89	10.6541	—	—
ปลาทู	13.38	62.39	8.3478	—	—
ปลาช่อน	14.96	73.27	10.9612	—	—
ตับหมู	300.4	69.67	209.2887	—	—
ไข่ไก่ (ทั้งพอง)	35.66	5.83	2.0790	—	—
— ไข่แดง	76.45	5.79	4.4265	—	—
— ไข่ขาว	5.20	45.48	2.3650	—	—

ตารางที่ 11. ส่วนประกอบและน้ำหนักของอาหารที่ใช้ทำการทดลอง

อาหาร	รายการ	ก./งาน						
		ข้าว	ผัก- กาดขาว	ปลา- ทุก öd	น้ำส้ม- คั้น	ถั่ว- เขียว	เนื้อหมู	รวม
1	อาหาร	280	125	—	—	—	—	405
2	อาหาร + เนื้อปลา	280	125	50	—	—	—	455
3	อาหาร + ไวนิลซี	280	125	—	320	—	—	725
4	อาหาร + ผัก	280	125	—	—	76	—	481
5	อาหาร + เนื้อหมู	280	125	—	—	—	74	479

- อาหาร 1, 2 และ 5 มีปรตีน 10 ก. (ค่าจากตารางส่วนประกอบอาหาร)

- อาหารทุกชนิดปรับให้มีปริมาณเหล็ก 3 มก. โดยเดิม  $\text{FeCl}_3 \cdot 6\text{H}_2\text{O}$

ตารางที่ 12. คุณค่าและส่วนประกอบทางโภชนาการของอาหารที่ใช้ทำการทดลอง

อาหาร	น้ำหนัก (ก.)	แคลอรี*	ไขมัน*	คานobiไฮ-	ปรตีน*	แคล- เรียบ*	ฟอสฟอ-	ปริมาณเหล็ก (มก.)				
								รัส*	เดิม*	เพิ่ม	รวม	วि- เกราะที่**
1	405	474.8	3.446	98.96	9.29	161.3	143.46	2.00	1.0	3.00	3.04	
2	455	590.5	12.450	99.12	19.48	163.4	351.12	2.54	0.5	3.04	3.53	
3	725	615.8	4.086	130.64	11.21	260.5	201.06	2.43	0.6	3.03	3.17	
4	481	755.8	3.846	160.26	19.29	212.6	282.46	2.70	0.3	3.00	3.67	
5	479	743.3	28.452	99.12	19.48	169.1	251.12	3.04	—	3.04	2.91	

\* ค่าค่านวณจากการแสดงคุณค่าอาหารไทยในส่วนที่กินได้ 100 กรัม กองโภชนาการ กรมอนามัย  
กระทรวงสาธารณสุข พ.ศ. 2521

\*\* วิเคราะห์ในห้องปฏิบัติการ

ตารางที่ 13. การวิเคราะห์อาหารที่ใช้ทำการทดสอบ

อาหาร	รายการ	น้ำหนัก (ก.)	เหล็ก (มก.)	ปริมาณเหล็กที่จะ <sup>ถูกดูดซึมได้</sup> (%)	อัตราส่วนของ เหล็กที่จะถูกดูดซึมได้
1	อาหาร	405	3.04	24.49	1
2	อาหาร + เนื้อปลา	455	3.53	49.28	2.01
3	อาหาร + ไวนaminซี	725	3.17	88.65	3.62
4	อาหาร + ผัก	481	3.67	23.10	0.94
5	อาหาร + เนื้อหมู	479	2.91	74.53	3.04

ตารางที่ 14. สถานภาพทางเหล็กของอาสาสมัคร

อาสาสมัคร เพศชาย	อายุ (ปี)	ส่วนสูง (ซม.)	น้ำหนัก (กก.)	% เม็ดเลือด- แดงอัดแน่น	ฮีโมโกล- บิน (ก.%)	จำนวน เลือดรวม (มล.)	ปริมาณโปรตีนฟียริน ในเม็ดเลือดแดง (มก./100 มล.)
<b>กลุ่มที่ 1</b>							
1	29	169.5	57.0	37.0	13.8	4404.1	49.5
2	28	161.5	60.0	40.0	16.3	4642.6	67.2
3	37	167.5	57.0	39.3	14.8	4404.1	86.8
4	23	164.5	58.5	36.0	12.7	4523.0	69.6
5	23	153.5	51.0	37.5	14.3	3928.1	59.9
6	24	163.0	52.5	35.0	12.7	4047.0	65.9
7	29	171.0	69.0	39.0	14.2	5360.0	54.2
8	37	169.0	65.0	36.0	12.7	5040.8	86.1
9	37	173.0	64.0	41.1	14.4	4961.1	45.3
10	28	153.5	43.0	35.0	12.7	3296.1	65.9
11	28	162.5	61.0	39.5	12.2	4722.1	55.7
Mean	29.4	164.4	58.0	37.8	13.7	4484.5	64.2
± SEM	± 1.56	± 1.97	± 2.19	± 0.64	± 0.37	± 173.53	± 4.04

ตารางที่ 14. (ต่อ)

อาสาสมัคร เพศชาย	อายุ (ปี)	ส่วนสูง (ซม.)	น้ำหนัก (กг.)	%เม็ดเดือด- แดงอัดแน่น	ปริมาณโภค-	จำนวน เลือดรูบ (มล.)	ปริมาณโปรตีนฟียริน ในเม็ดเดือดแดง (มคก./100 มล.)
<b>กลุ่มที่ 2</b>							
1	19	172.0	55.0	36.0	13.3	4245.3	64.5
2	29	163.0	47.0	42.0	15.1	3611.7	70.0
3	32	165.0	66.0	39.0	13.5	5120.6	71.1
4	32	158.0	64.0	40.5	15.6	4961.1	53.4
5	31	167.0	52.5	40.5	14.8	4047.0	62.9
6	24	168.0	58.0	34.5	12.8	4483.5	51.1
7	34	163.5	70.0	38.0	14.0	5439.9	56.9
8	25	162.5	58.0	40.0	14.0	4483.5	118.3
9	26	163.5	57.5	42.0	14.8	4443.8	65.8
10	32	162.5	50.0	38.0	12.8	3849.0	72.8
11	31	172.5	55.0	39.0	13.9	4245.3	57.6
12	51	164.5	50.0	37.5	12.0	3849.0	52.6
Mean	31.3	165.1	56.9	38.9	13.9	4398.3	66.4
± SEM	± 2.18	± 1.2	± 1.99	± 0.66	± 0.31	± 158.89	± 5.18
Total Mean	30.0	164.8	57.4	38.4	13.8	4439.5	65.35
± SEM	± 6.62	± 1.11	± 1.45	± 0.47	± 0.24	± 114.96	± 3.26

ตารางที่ 15. ผลของปัจุบันอุดและไข่ตามนี้ ต่อการดูดซึมเหล็กจากอาหารพื้นฐานในรูปของร้อยละ  
และอัตราส่วน

อาสาสมัคร <sup>คู่</sup> กลุ่มที่ 1	การดูดซึมเหล็ก (%)				<u>อาหาร 2</u> <u>อาหาร 1</u>	<u>อาหาร 3</u> <u>อาหาร 1</u>
	อาหาร 1	อาหาร 2	อาหาร 3	Reference dose		
1	33.11	37.05	81.30	82.75	1.12	2.46
2	51.15	69.40	70.34	77.53	1.36	1.38
3	1.91	1.91	5.21	6.97	1.00	2.73
4	2.99	2.65	9.55	23.35	0.89	3.19
5	1.58	1.51	2.83	9.54	0.96	1.79
6	1.24	0.73	4.95	16.38	0.59	3.99
7	11.79	7.66	52.69	65.42	0.65	4.47
8	8.13	7.61	49.88	59.77	0.94	6.14
9	4.09	6.37	9.20	14.08	1.56	2.25
Mean	12.89	14.99	31.77	38.87	1.01	3.16
± SEM	± 5.84	± 7.76	± 10.52	± 10.61	± 0.10	± 0.50

ตารางที่ 16. ร้อยละของการดูดซึมเหล็กจากอาหารพื้นฐาน ผลจากปลาทูกอดและไวนิลชี เมื่อคิดที่ร้อยละ 40 ของสารละลายนเหล็กมาตรฐาน

อาสาสมัคร กลุ่มที่ 1	การดูดซึมเหล็ก (%)		
	อาหาร 1	อาหาร 2	อาหาร 3
1	16.00	17.91	39.30
2	26.39	35.81	36.29
3	10.96	10.96	29.90
4	5.12	4.54	16.36
5	6.62	6.33	11.87
6	4.78	2.81	19.08
7	7.21	4.68	32.22
8	5.44	5.09	33.38
9	11.62	18.10	26.14
Mean	10.46	11.64	23.85
± SEM	± 2.35	± 3.53	± 3.99

ตารางที่ 17. ผลของถัวเฉี่ยวนและเนื้อหาต่อการคุณซึมเหล็กจากอาหารพื้นฐานในรูปของร้อยละและอัตราส่วน

อาสาสมัคร กลุ่มที่ 2	การคุณซึมเหล็ก (%)				$\frac{\text{อาหาร 4}}{\text{อาหาร 1}}$	$\frac{\text{อาหาร 5}}{\text{อาหาร 1}}$
	อาหาร 1	อาหาร 4	อาหาร 5	Reference dose		
1	3.77	1.13	36.41	24.11	0.30	9.66
2	4.95	1.66	8.00	27.05	0.34	1.62
3	33.28	18.55	35.62	61.60	0.56	1.07
4	8.33	1.57	7.01	19.22	0.19	0.84
5	1.74	0.60	18.74	20.77	0.35	10.77
6	3.05	1.86	9.19	17.38	0.61	3.01
7	7.02	6.83	14.84	16.03	0.97	2.11
8	28.19	22.96	70.30	100.00	0.81	2.49
9	3.29	2.30	3.50	8.99	0.70	1.06
10	2.21	1.51	5.62	10.83	0.68	2.54
11	5.87	2.39	32.95	38.65	0.41	5.61
12	4.75	1.52	24.60	37.90	0.32	5.18
Mean	8.87	5.24	22.23	31.88	0.52	3.89
$\pm$ SEM	$\pm$ 3.02	$\pm$ 2.16	$\pm$ 5.78	$\pm$ 7.49	$\pm$ 0.07	$\pm$ 0.96

ตารางที่ 18. ร้อยละของการดูดซึมเหล็กจากอาหารพื้นฐาน ผลจากถัวเฉี่ยวและเนื้อหมู เมื่อคิดเป็น  
ร้อยละ 40 ของสารละลายน้ำกัมมาตรฐาน

อาสาสมัคร กลุ่มที่ 2	การดูดซึมเหล็ก (%)		
	อาหาร 1	อาหาร 4	อาหาร 5
1	6.25	1.87	60.41
2	7.32	2.45	11.83
3	21.61	12.05	23.13
4	17.34	3.27	14.59
5	3.35	1.16	36.09
6	7.02	4.28	21.15
7	17.52	17.04	37.03
8	11.28	9.18	28.12
9	14.64	10.23	15.57
10	8.16	5.58	20.76
11	6.08	2.47	34.10
12	5.01	1.60	25.96
Mean	10.47	5.93	27.40
± SEM	± 1.71	± 1.46	± 3.85

ตารางที่ 19. การวิเคราะห์หาปริมาณเหล็กที่จะถูกคุกซึมได้ในหลอดทดลองของอาหารที่ใช้ทดลอง  
ในอาสาสมัคร

ลำดับที่	ปริมาณเหล็กที่จะถูกคุกซึมได้ (%)				
	อาหาร 1	อาหาร 2	อาหาร 3	อาหาร 4	อาหาร 5
1	16.85	39.72	84.21	24.70	76.36
2	15.82	47.82	88.18	22.28	68.27
3	35.22	50.87	81.80	29.91	66.14
4	24.40	49.04	97.90	24.57	75.13
5	33.58	52.48	95.79	22.24	77.70
6	29.28	49.26	92.33	24.19	83.60
7	24.11	53.55	87.68	18.30	—
8	34.68	47.04	88.69	19.96	—
9	24.11	52.05	80.65	24.92	—
10	26.19	47.40	89.25	20.93	—
11	28.40	46.67	—	21.12	—
12	20.70	51.23	—	—	—
13	20.75	54.20	—	—	—
14	20.77	—	—	—	—
15	19.29	—	—	—	—
16	22.48	—	—	—	—
17	21.92	—	—	—	—
18	22.14	—	—	—	—
Mean	24.49	49.28	88.65	23.10	74.53
± SEM	± 1.36	± 1.07	± 1.77	± 0.90	± 2.62
n	18	13	10	11	6

**ตารางที่ 20. การเปรียบเทียบผลการคุณค่าเฉลี่กในอาสาสมัคร และปริมาณเหล็กที่จะถูกคุณค่าเฉลี่ยได้ในหลอดทดลอง ในรูปของอัตราส่วน**

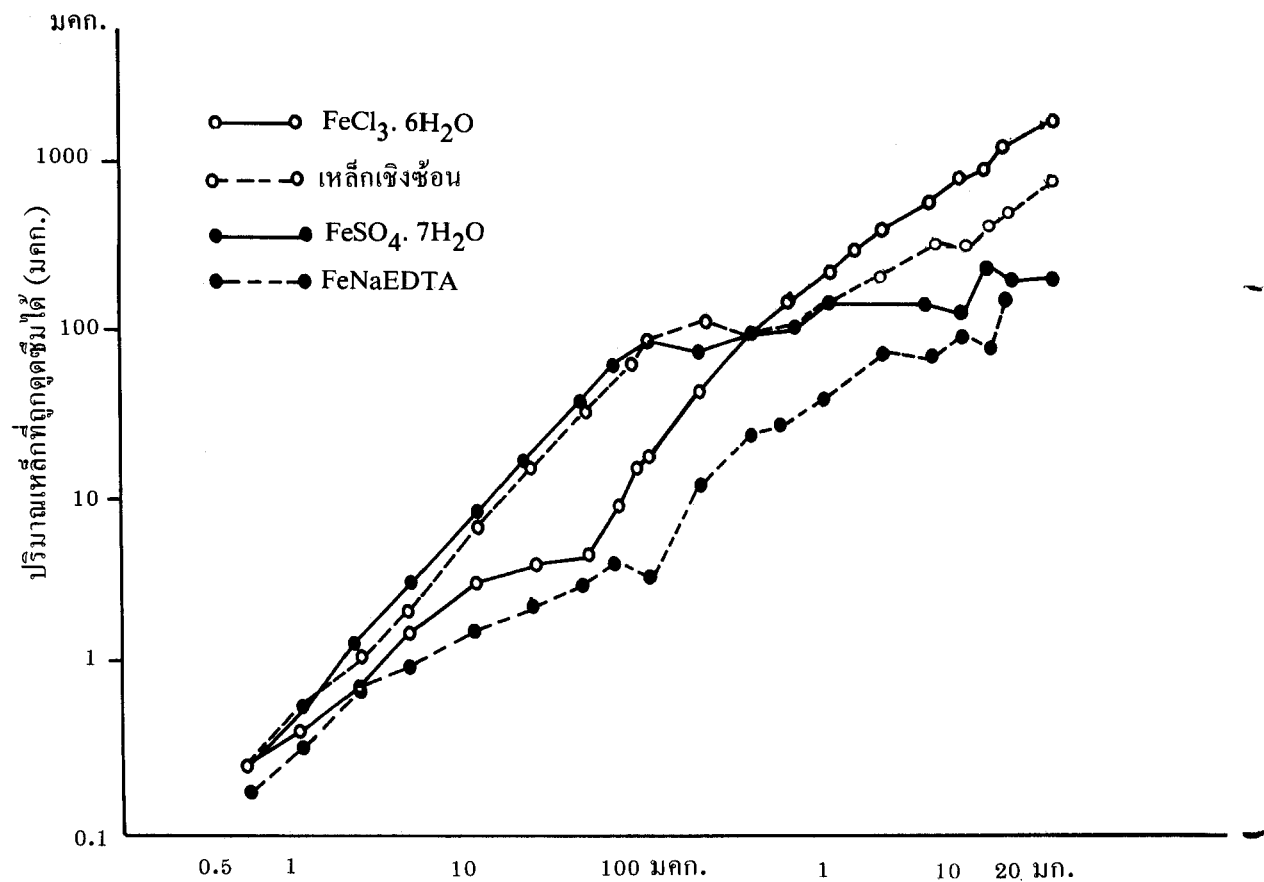
อาหาร	รายการ	อัตราส่วน การคุณค่าเฉลี่ก	อัตราส่วน เหล็กที่จะถูกคุณค่าเฉลี่ยได้
1	อาหาร	1.00	1.00
2	อาหาร + เนื้อปลา	1.11	2.01
3	อาหาร + ไวนามินซี	2.28	3.62
4	อาหาร + ผัก	0.57	0.94
5	อาหาร + เนื้อหมู	2.63	3.04

- ทุกค่าแทนอัตราส่วนน้ำซิมเลขคณิต
- สหสัมพันธ์ของอัตราส่วนการคุณค่าเฉลี่กและอัตราส่วนเหล็กที่จะถูกคุณค่าเฉลี่ยได้  $r = 0.9192$

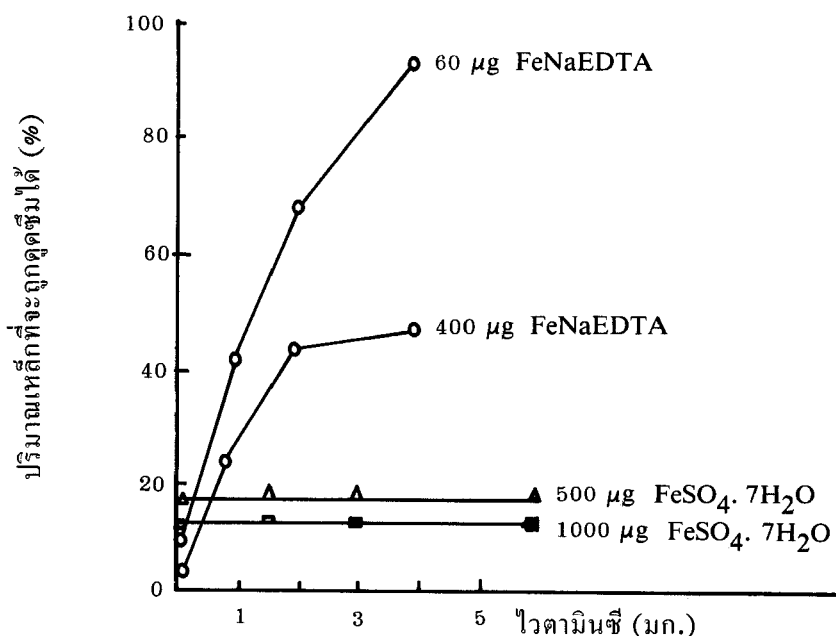
**ตารางที่ 21. การเปรียบเทียบผลการคุณค่าเฉลี่กในอาสาสมัคร และปริมาณเหล็กที่จะถูกคุณค่าเฉลี่ยได้ในหลอดทดลอง ในรูปของร้อยละ**

อาหาร	การคุณค่าเฉลี่ก (%)		เหล็กที่จะถูกคุณค่าเฉลี่ยได้ (%)	
	$\bar{X} \pm SEM$	n	$\bar{X} \pm SEM$	n
1	10.46 $\pm$ 1.36	21	24.49 $\pm$ 1.36	18
2	11.64 $\pm$ 3.53	9	49.28 $\pm$ 1.07	13
3	23.85 $\pm$ 3.99	9	88.65 $\pm$ 1.77	10
4	5.93 $\pm$ 1.46	12	23.10 $\pm$ 0.90	11
5	27.40 $\pm$ 3.85	12	74.53 $\pm$ 2.62	6

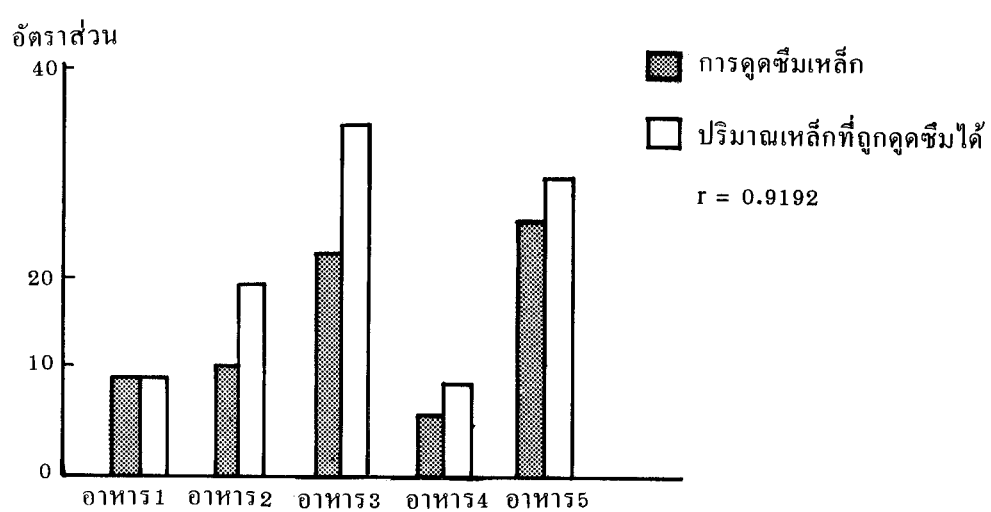
- สหสัมพันธ์ของการคุณค่าเฉลี่ก (%) และเหล็กที่จะถูกคุณค่าเฉลี่ยได้ (%)  $r = 0.9197$



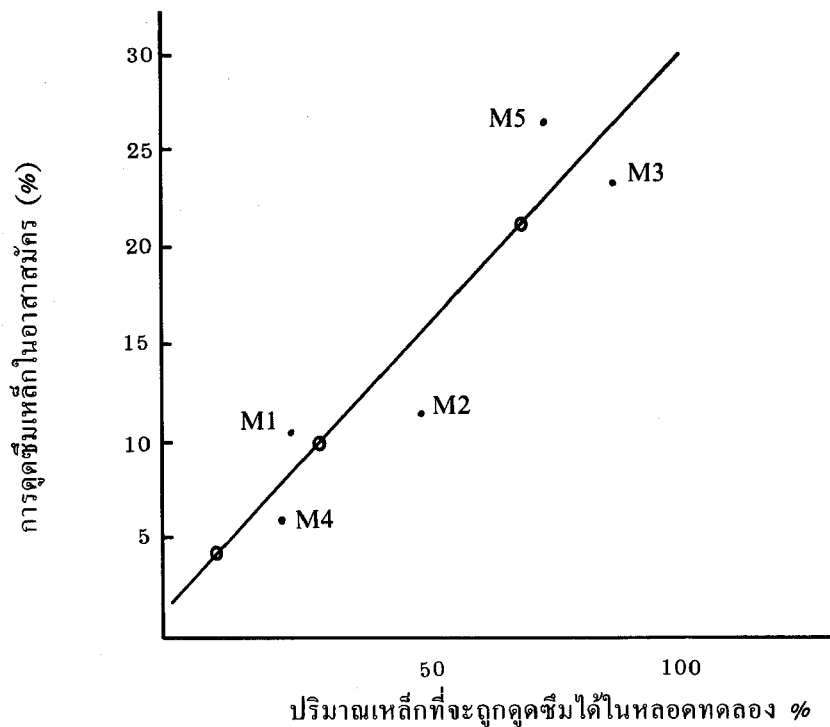
รูปที่ 1. การเปรียบเทียบปริมาณเหล็กที่ถูกดูดซึมได้ และปริมาณเหล็กที่มีอยู่ทั้งหมดของสารประกอบเหล็กชนิดต่าง ๆ



รูปที่ 2. ผลของวิตามินซีต่อปริมาณเหล็กที่จะถูกดูดซึมได้ ในสารละลายน FeNaEDTA และ เฟอร์รัสซัลเฟต



รูปที่ 3. การเปรียบเทียบในรูปอัตราส่วนของผลการดูดซึมเหล็กในอาสาสมัคร และปริมาณเหล็กที่จะถูกดูดซึมได้ในหลอดทดลอง



รูปที่ 4. การเปรียบเทียบในรูปกราฟของผลการดูดซึมเหล็กในอากาศสัมบูรณ์ และปริมาณเหล็กที่จะถูกดูดซึมได้ในหลอดทดลอง